

肺內壓增加時의 動脈血壓 및 心搏變動에 關하여

慶北大學校 醫科大學 生理學教室

<指導 朱 永 恩 教授>

金圭秀 · 吳相由 · 崔秉玉 · 李重吉

= Abstract =

Responses of Systemic Arterial Blood Pressure and Heart Rates to Graded Increase of Positive Lung Inflation

Kyu Soo Kim, M.D., Sang Yu Oh, M.D.,

Byung Ok Choi, M.D. and Joong Kil Lee, M.D.

*Department of Physiology, Kyungpook National University School of Medicine
Taegu, Korea*

(Director: Prof. Young Eun Choo)

Effects of graded increase of positive lung inflation upon heart rates and arterial blood pressure were observed in the anesthetized dogs to analyze the mechanical and neural regulatory factor in response to the positive inflation of the lung.

The results obtained were summarized as followings:

- 1) When the low grade of positive lung inflation was employed under the mild to moderate anesthesia, central venous pressure was linearly increased while heart rate was decreased. After bilateral vagotomy, central venous pressure was obviously increased while heart rate was constant.
- 2) When the high degree of positive lung inflation was employed, changes of central venous pressure and heart rate were not significant.
- 3) The low grade of intrapulmonary pressure increase caused reflex tachycardia in phase 2 and overshooting in phase 4 in response to the systemic arterial blood pressure change.
- 4) On the other hand, the high degree of intrapulmonary pressure increase caused paradoxical bradycardia in phase 2 and lack of overshooting in phase 4 in response to the systemic arterial blood pressure change.
- 5) It may be noted that the experimental model employed in the present study is a useful tool to evaluate and analyze the neural and mechanical regulatory factor in response to the graded increase of the positive lung inflation.

緒 論

肺擴張에 關한 研究는 일찌기 Quinke 및 Preiffer (1817)¹⁾ 등의 原始的인 實驗이 有은 以後 많은 生理學者와 臨床家들이 이點에 關心을 가져왔다. 그러나 初創期의 呼吸機轉에 關한 研究는 主로 胸廓內에서의 呼吸과

循環系間의 相關性에 초점을 둔 것이었다.

Carsons(1820)²⁾는 血液을 분출하는 energy는 肺의 彈力性에 있다고 하였으며, Donder(1853)³⁾는 呼吸機轉이 循環에 影響을 준다는 古典的인 說明을 하였다.

近年에 와서는 肺血管의 容量에 關한 報文이 많은데 이는 肺內血流抵抗을 광범위 하게 理解하는데 도움을 주었다.^{4),5),7)}

肺內壓增加時는 Valsalva maneuver에 해당하는 呼吸

* 本 論文의 要旨는 21 회 대한생리학회 학술대회석상에서 발표 하였음.

止息이 關與되며 肺는 擴張되어 cardiovascular response 가 變化하게 된다. 卽 positive lung inflation 이나 negative-pleural lung inflation 은 胸廓內에 있는 血管內의 血流抵抗을 增加시키고 動脈血壓를 減少시키며 肺內血량을 減少시키는 周知의 事實이다.⁴⁻⁷⁾

이와 같이 lung inflation 에 關한 報文이 많음에도 不拘하고 아직도 確立된 結論을 얻지 못한은 1) 實驗方法 및 model 의 選定이 一定하지 않았고, 2) 血管內의 transmural pressure, 管腔內壓 및 組織內壓의 相關性을 考慮치 않았으며, 3) 肺容積이 적어질 때는 小血管의 kinking 이나 collapse 때문에 抵抗이 機械的으로 增加되지 않는點, 4) 高度의 肺擴張에서는 抵抗이 기계적으로 增加된 是 血管이 伸展되기 때문이며, 5) 肺의 容壓樣相이 閉鎖된 pulmonary vasculature 에 미치는 影響이 考慮되지 않았었고, 6) 肺胞, 肋膜, 左心房 및 肺內壓의 均衡을 생각지 않았던點 및 7) lung inflation 때는 表面張力은 의 의가 없다는 것이었다. 以上 列記한 事實을 보아 lung inflation 에 關한 神經性 및 機械的 要素나 機轉을 취급한 例는 흔하지 않기 때문에 著者들은 實驗犬을 利用하여 lung inflation(肺內壓增加)을 한개의 刺戟으로 보아 神經性 調節機能의 要因 및 機械的인 抑制要素를 分析 念의 함에 있어 本 實驗 model의 有用性을 고려 하였다.

實驗方法

1) 實驗動物 및 麻醉

體重 11~20 kg 의 韓國산 雜種성견 21匹을 자웅의 區別 없이 實驗에 이용 하였고 thiopental (15~30 mg/kg) 및 sod. barbital (50~100 mg/kg)로써 마취하였다.

2) 肺內壓力 增加

氣管切開術을 시행하여 endotracheal tube(38~40 號)를 삽입하여 견고히 고정시키고 삼방전을 연결하여 5l 마취 bag 에 연결하여 肺內壓力增加前에는 자연스럽게 大氣를 呼吸 할 수 있게 하였다.

肺內壓力增加時는 마취 bag 의 一端에 連結된 U-字 水銀柱를 보아가면서 마취 bag 을 손으로 壓迫하여 願하는 壓力를 유지 하면서 肺內와 연결하여 肺內壓力를 10~60 mmHg 까지 增加시킨다. 이때 肺內壓力이 正確히 上昇된 것을 확인하기 爲하여 大腿靜脈을 거쳐 中心靜脈壓을 測定하였다.

3) 動脈血壓 및 心搏數

Sanborn division, Hewlett Packard carrier preamplifier 350-1100 C model 및 transducer 267 BC type 를 利用하여 大腿動脈血壓 및 ECG 를 표기 하였다.

4) 迷走神經切斷

肺內壓力增加時 神經性 調節機轉을 관찰 目的으로 頸

部 迷走神經을 兩側 모두 切斷 하여 動脈血壓, 心搏數 및 中心靜脈壓을 60 秒間 계속 관찰 표기 하였다.

實驗結果

肺內壓力를 10~30 mmHg 까지 增加시켰을 때 各時間別 中心靜脈壓 및 心搏數를 比較하면 第1表 및 第1圖에서 보는 바와 같다. 卽 intrapulmonary pressure increase (IPPI)가 10~30 mmHg 인 낮은 IPPI에서 30 秒間의 中心靜脈壓은 점차 增加하였고 迷走神經切斷後의 肺內壓增加時 中心靜脈壓도 增加하였으나 心搏數는 中心靜脈壓의 增加에 反해서 점차 減少하였다. 그러나 迷走神經切斷後의 그것은 反對로 別變動이 없었는데 이는 反射의 消失과 麻醉影響 때문이라고 생각된다(第2表 및 第1圖 참조).

肺內壓力를 40~60 mmHg(high IPPI)로 增加시켰을 때 各時間別 中心靜脈壓 및 心搏數를 比較하면 第1表 및 第2圖에서 보는 바와 같다. 卽 high IPPI에서 30 秒間의 中心靜脈壓은 肺內壓增加와 比例해서 增加하며 IPPI 增加에 反해 中心靜脈壓의 增加는 현저하지 않았다.

그러나 迷走神經切斷後의 中心靜脈壓은 IPPI 增加에 比例해서 增加하였는데 이는 神經性 機轉의 消失로 因하여 機械的인 抑制가 적게 作用하는 것 같았다.

Table 1. Response to graded lung inflation

IPPI*	Sec. Resp.	0	10	20	30
		10 (mmHg)	C.V.P. mmH ₂ O	-2	192.2
	B.P. mmHg	131.6	70.2	52.6	48.4
	H.R. R/min.	168	158	158	136
20	C.V.P. mmH ₂ O	0	267	259.2	267
	B.P. mmHg	136.5	45.7	36.9	38
	H.R. R/min.	156	116	118	114
30	C.V.P. mmH ₂ O	0	255	279.2	285.4
	B.P. mmHg	137.1	36.2	30.7	36.7
	H.R. R/min.	150	130.8	150.6	102
40	C.V.P. mmH ₂ O	3.4	259	314	298
	B.P. mmHg	136.6	29.3	21	24.4
	H.R. R/min.	156	103.8	115.8	123.6
50	C.V.P. mmH ₂ O	0	268	286	283.2
	B.P. mmHg	135.1	32.6	24.6	26.4
	H.R. R/min.	151.8	117.6	123.6	136.6
60	C.V.P. mmH ₂ O	2.2	194.4	244	262.6
	B.P. mmHg	124.1	22.4	13.3	14.0
	H.R. R/min.	165	150	75	69

* IPPI: Intrapulmonary pressure increase

Table 2. Response to graded lung inflation after vagotomy

IPPI*	Resp.	Sec.	0	10	20	30
	10 (mmHg)	C.V.P. mmH ₂ O	3.8	210	219.2	231.2
B.P. mmHg		152.2	74.7	84.2	57.9	
H.R. R/min.		207	171	171	177	
20	C.V.P. mmH ₂ O	0	268	306	304	
	B.P. mmHg	145.7	61.4	50.5	47.1	
	H.R. R/min.	198	168	177	180	
30	C.V.P. mmH ₂ O	-4	206	286	290.6	
	B.P. mmHg	135.9	46.9	35.6	33.4	
	H.R. R/min.	165	174	177	180	
40	C.V.P. mmH ₂ O	-3	278.6	280	281.2	
	B.P. mmHg	135.5	43.7	32.1	29.3	
	H.R. R/min.	174	174	186	186	
50	C.V.P. mmH ₂ O	-12	266	288	330	
	B.P. mmHg	120	40.2	29.9	25.5	
	H.R. R/min.	165	174	177	171	
60	C.V.P. mmH ₂ O	3.8	258	293.4	400.6	
	B.P. mmHg	152.3	39.5	27.2	25.4	
	H.R. R/min.	168	168	171	174	

* IPPI: Intrapulmonary pressure increase.

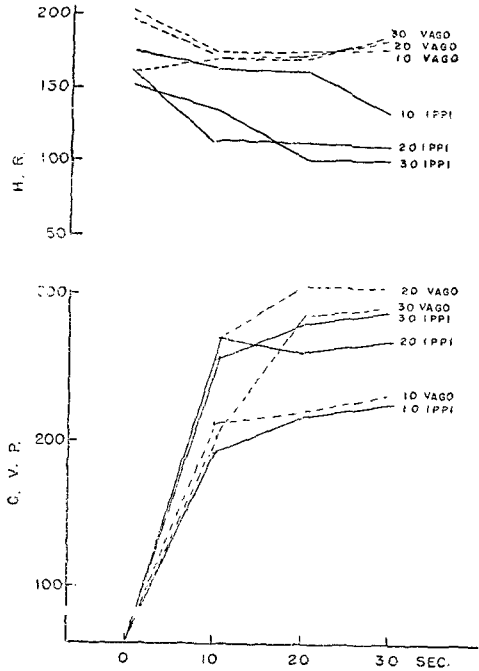


Fig. 1. Response of C.V.P. and heart rate to graded lung inflation (10~30 mmHg).

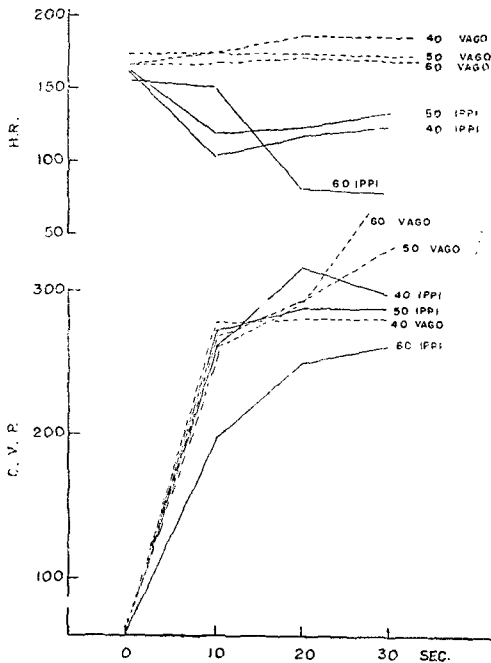


Fig. 2. Response of C.V.P. and heart rate to graded lung inflation (40~60 mmHg).

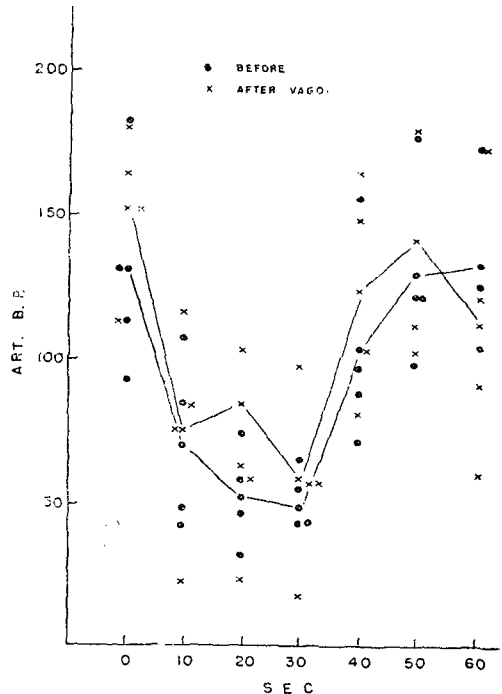


Fig. 3. Response of Art. B.P. to 10 mmHg IPPI (anesthesia: thiopental+sod. barb.).

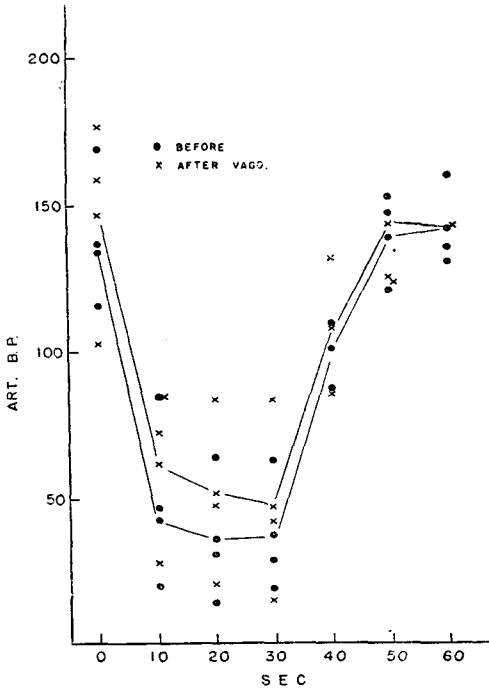


Fig. 4. Response of Art. B.P. to 20 mmHg IPPI (anesthesia: thiopental+sod. barb.).

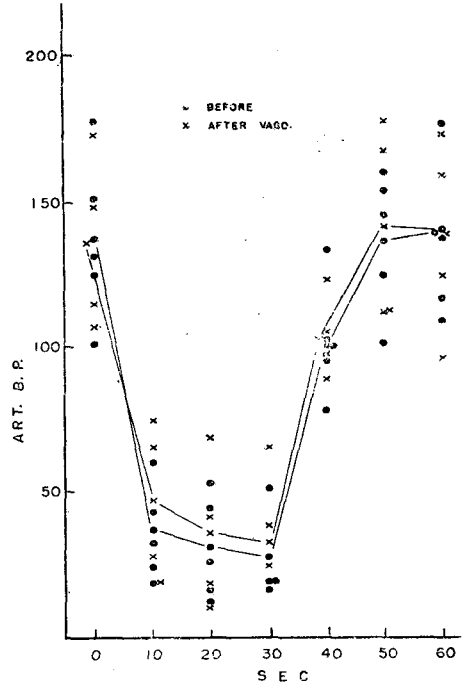


Fig. 5. Response of Art. B.P. to 30 mmHg IPPI (anesthesia: thiopental+sod. barb.).

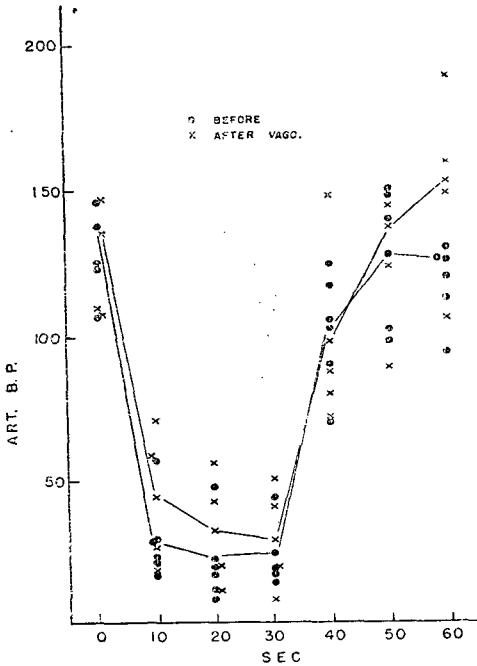


Fig. 6. Response of Art. B.P. to 40 mmHg IPPI (anesthesia: thiopental+sod. barb.).

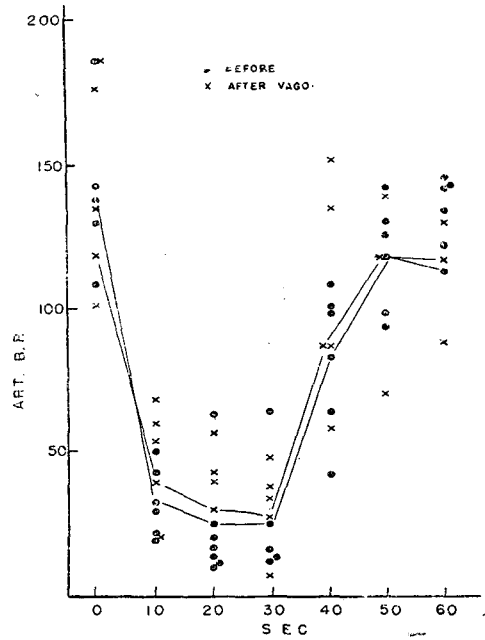


Fig. 7. Response of Art. B.P. to 50 mmHg IPPI (anesthesia: thiopental+sod. barb.).

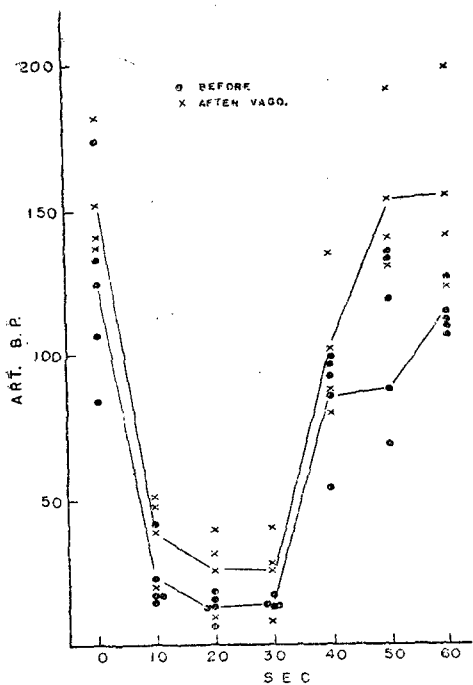


Fig. 8. Response of Art. B.P. to 60 mmHg IPPI (anesthesia: thiopental+sod. barb.).

心搏數의變化는 60 mmHg IPPI 群에서는 현저히減少하였으며 迷走神經切斷後의 心搏數는 IPPI 增加에對하여 30 秒間 別變動이 없었다(第 2 圖 참조).

肺內壓力이 10 mmHg 부터 60 mmHg 까지 增加시킬 때 60 秒間 動脈血壓變動과 迷走神經切斷後의 그것을 아울러 관찰했을 때의 結果는 第 3~8 圖에서 보는 바와 같다. 即 肺의 膨脹을 30 秒間 維持시킬 때 血壓變動은 平均 30 秒에서 가장 甚히 下降하였고 30 秒間 계속 bradycardia 를 보이며 60 mmHg IPPI 群을 除外하고는 平均 50~60 秒에서 正常으로 회복되었다.

肺內壓增加時 動脈血壓의變動 및 心搏數의變動을 계속적으로 記錄하여 各 phase 別로 直接 圖示해보면 第 9 圖에서 보이는 바와 같이 phase 1 은 正常動脈血壓이며, phase 2 는 肺內壓增加時 初期 bradycardia 및 血壓減少時期를 表示하며, phase 3 는 肺內壓增加除去直前 低血壓을 示하는時期를 나타내고 있으며 phase 4 는 회복기를 의미하는 것이다.

第 9 圖에서 表示된 바와 같이 40 mmHg 의 肺內壓增加時 bradycardia 및 血壓下降과 比較하여 迷走神經切斷後의 그것을 보여 주고 있는데 迷走神經切斷後는 心搏의變動이 別로 없으며 血壓下降은 對照群과 別變動이 없음을 알 수 있었다.

肺內壓을 점차 增加시킬 때 動脈血壓의變動을 各 phase 別로 分析하여 본 例는 第 10 圖에서 보는 바와 같다.

Low IPPI (10~30 mmHg)에서는 phase 2 reflex tachycardia 가 나타날 수 있었고, phase 4 에서 overshooting 이 현저함이 특히 하였으며, high IPPI(40~60 mmHg)에서는 phase 2 paradoxical bradycardia 가 나타날 수 있으며 phase 4 에서 overshooting 이 없음이 특징이다.

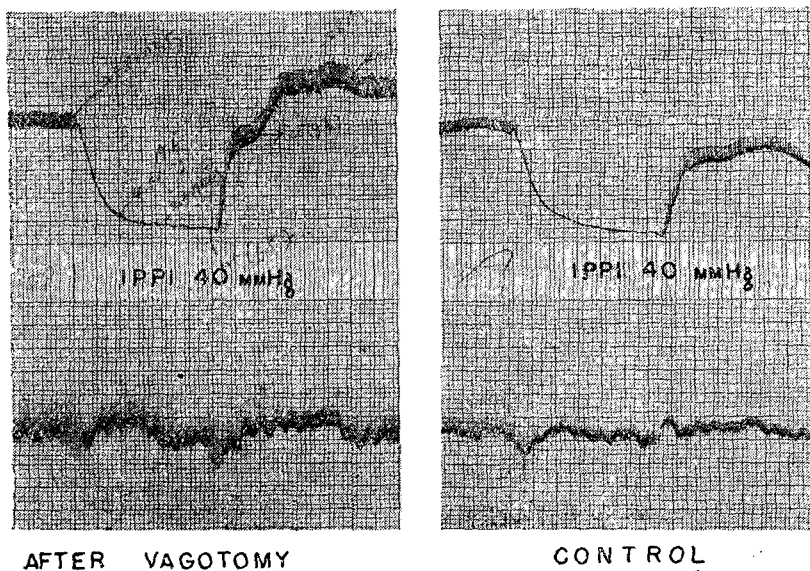


Fig. 9. Effect of vagotomy in response to IPPI (40 mmHg IPPI).

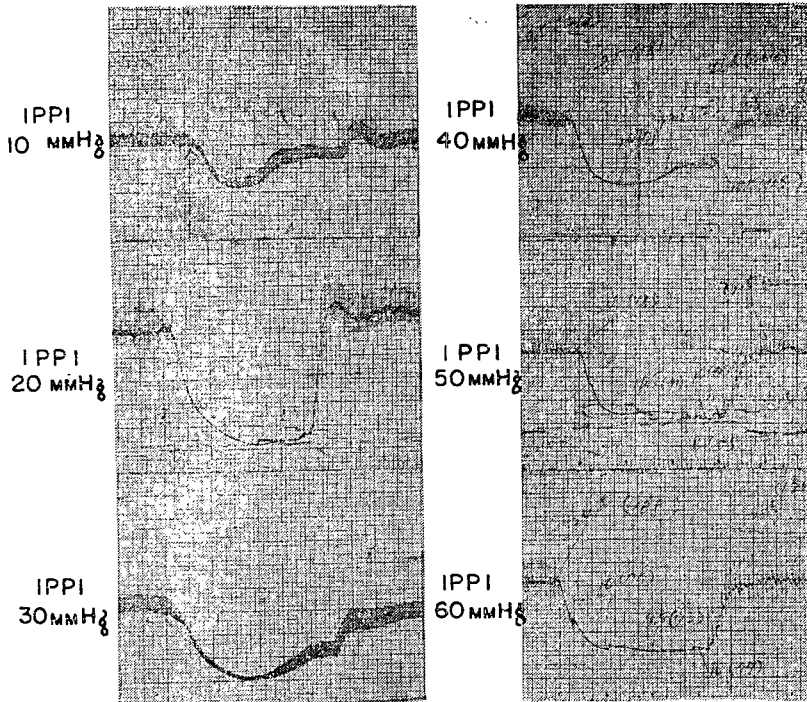


Fig. 10. Art. B. P. response to graded inflation pressure.

考 察

肺內壓增加時의 cardiovascular response 는 比較的 詳細히 밝혀져^{4,8,9)} 있지만 lung inflation 을 한낱 刺戟으로 본 神經性 調節機轉을 追究한 例는 흔하지 않다. Syst. art. blood pressure 를 계속적으로 測기함으로써 加해진 lung inflation 의 程度에 따른 反應을 관찰함으로써 神經性機轉의 本態를 究明해 보는 것이 本 實驗의 目的이다. 이러한 model 은 이미 Hayashi(1969)¹⁰⁾ 등에 의하여 詳細히 밝혀진바 있다. 肺內壓力이 增加되면 valsalva phenomenon 의 normal pattern 이 점점 다른 양상을 呈하게 되며 high inflation pressure pattern 은 動脈血壓 및 脈壓이 현저히 減少됨에도 不拘하고, phase 2 reflex tachycardia 가 消失되고 phase 4 overshooting 이 消失되게 된다.

이러한 것은 carotid sinus 와 baroreceptor 를 經유한 sympathetic reflex activity 가 계속해서 抑制되기 때문이라 생각되어지고 있다.^{5,9,10)}

肺內壓增加가 이루어지고 있는 동안은 物理的으로 心臟이나 胸廓內 血管이 壓迫됨은 勿論 bradycardia 가 초래되는데 이는 物理的인 要因 以外에 parasympathetic activity 가 增加되는 結果인 것이다. 그것은 強하게 抑制된 sympathetic activity 로 因해 야기된 phase 2 의

bradycardia 는 atropine 投與로 因해 完全히 block 되지 但 tachycardia 를 block 시키지 못함을 보아 알 수 있다.⁸⁾

著者들이 얻은 結果는 atropine 代身 迷走神經切斷을 施行하여 atropine 投與例와 比較하였다.

本 實驗의 肺內壓增加時 迷走神經切斷 前後의 心搏變動을 比較하면 迷走神經切斷後의 그것은 別變動이 없음을 보아 이는 bainbridge reflex 의 消失 및 麻醉의 영향이 제거된다고 생각되었다. 이것은 Hayashi 등의 atropine 投與例에서도 明白하였는데 迷走神經切斷의 影響이 훨씬 더 強加함을 보아 틀림 없는 神經性 調節機轉의 作用이라 믿어지고 있다.

10 mmHg 부터 60 mmHg 까지 肺內壓力을 增加시킬때 血壓의 變動을 各 phase 別로 分析한 例를 보이는 것은 第 10 圖에서 보는 바와 같고 low IPPI(10~30 mmHg) 에 서는 phase 2 reflex tachycardia 가 있고 phase 4 에서 overshooting 이 있다. reflex tachycardia 는 肺內壓力增加에 對해서 心臟이 壓迫됨은 오히려 sympathetic activation 을 同伴하기 때문이라 생각되며 IPPI 가 계속되면 顯著的한 bradycardia 가 계속되며 phase 4 에서의 overshooting 은 壓迫되었던 sympathetic activation 및 venous return 이 갑자기 增加되기 때문이다.

그러나 high IPPI(40~60 mmHg) 에 서는 phase 2 para-

doxical bradycardia 가 올 수 있는데 low IPPI 에 대해서 壓迫되었던 胸廓內 血管이나 心臟이 더 이상 代償할 수 없는 物理的인 作用 때문이라 생각된다.

Phase 4 에서 overshooting 이 없음을 high degree lung inflation 의 특징이며 이는 sympathetic reflex 의 강한 壓迫 및 마취때문에 일어나는 筋肉의 이완 때문에 機械的 影響이 作用되었고 또 lung inflation 이 除去된 後에는 말초혈액의 pooling 이 작용되었기 때문이다.

Central sympathetic supression 의 작용이 나타나는 것은 corpus callosum 의 genu 를 둘러싸고 있는 cingulate gyrus 의 rostral part 에 sympatho-inhibitory center 및 medullary depressor area 가 存在하기 때문이다. 迷走神經切斷後 動脈血壓은 迷走神經切斷 前보다 減少의 程度가 현저하지 않았고 肺內壓力 10 mmHg 부터 60 mmHg 에 이르기까지 全例에서 迷走神經切斷後의 動脈血壓은 對照群보다 낮게 유지됨은 神經性 機轉의 消失 및 機械的인 抑制작용이 현저하지 않았던 點 등으로 생각된다.

結 論

肺內壓力增加時 계속의으로 動脈血壓 및 心搏數를 觀察함으로써 lung inflation 에 관한 神經性 및 機械的 調節機能의 要因을 分析할 수 있었으며 다음의 結論을 얻었다.

1) Low IPPI (intrapulmonary pressure increase, 10~30 mmHg)에서 C.V.P. 는 直線的으로 增加했으며 迷走神經切斷後는 반드시 一定하지 않았다. 心搏數는 IPPI 의 크기에 反해서 減少했으며 迷走神經切斷後는 別變動이 없었다.

2) Lung inflation 에 따라 動脈血壓은 phase 2 에서 減少하였고 迷走神經切斷後의 phase 2 에서는 血壓減少率이 迷走神經切斷前보다 현저하지 않았다.

3) Low IPPI 時 動脈血壓의 變動양상은 高度의 lung inflation 에 比하여 phase 2 에서 reflex tachycardia 가 있었고 phase 4 에서 overshooting 이 현저하였다.

4) High IPPI 時 動脈血壓의 變動양상은 phase 2 에서 paradoxical bradycardia 가 나타났으며 phase 4 에서 overshooting 이 없었다.

5) 本實驗은 lung inflation 에 관한 cardiovascular sympathetic 및 parasympathetic reflex activity 를 이해할 수 있는 有用한 model 이라 간주된다.

REFERENCES

- 1) Quinke, H., and Pfeiffer, E.: *Über den Blutstrom in den Lungen. Arch. Anat. Physiol. S. p. 90, 1871.*
- 2) Carson, G.: *On the Elasticity of Lungs. Phil. Trans. Roy. Soc., London, Ser. B. 110:29, 1820.*
- 3) Donders, F.C.: *Beiträge zum Mechanismus der Respiration und Circulation im gesunden und Kranken Zustände. Z. Rat. Med. 3:287, 1853.*
- 4) Lenfant, Claude and Howell, B.G.: *Cardiovascular Adjustments in Dogs during continuous Pressure Breathing. J. of Appl. Physiol. 15:425, 1960.*
- 5) Hamilton, W.F.: *Circulation, Section II, Handbook of Physiology, Vol. II, American Physiological Society, Washington, D.C., p. 1710, 1963.*
- 6) Best, C.H., and Taylor, N.B.: *The Physiological Basis of Medical Practice, 7th ed., Williams & Wilkins Co., Baltimore, 1961.*
- 7) Mead, J. and Whittenberger, J.L.: *Lung Inflation and Hemodynamics, Handbook of Physiol., Section 3, Respiration, Vol. I, American Physiological Society, Washington, D.C., p. 477, 1964.*
- 8) Roos, A., L.J. and Thomas, Jr. E.L.: *Pulmonary Vascular Resistance as Determined by Lung Inflation and Vascular Pressures. J. Appl. Physiol. 16: 77, 1961.*
- 9) Whittenberger, J.L.: *Influence of state of inflation of lung on pulmonary vascular resistance. J.A.P. 15:878, 1960.*
- 10) Hayashi, K. D.: *Responses of systemic arterial pressure and heart rate to increased intrapulmonary pressure in anesthetized dogs. Proc. Soc. Exper. Biol. & Med. 131:426, 1969.*